

瀬戸内海における 50 年確率波高の推定

愛媛大学大学院 正員 ○畠田佳男 愛媛大学大学院 正員 山口正隆
愛媛大学工学部 野中 浩一・大福 学 戸田建設 森 正憲

1.はじめに

社会資本の集中している瀬戸内海において合理的な沿岸防災対策を講じるためには高潮と同様に高波の極値を的確に推定することもきわめて重要であり、これまでにそれぞれ多くの検討が行われてきている。しかし、沿岸構造物の計画・設計の基本資料となる確率波高の推定値は論文としてほとんど公表されていない。また、台風被害が生じた 2004 年を契機に、特定の台風に伴う異常波浪に対する波浪推算の研究事例は多いが、再現確率値をまとめたものはない。そこで本研究では、瀬戸内海において最長 26 年の間の多くの異常気象擾乱(台風、低気圧、季節風)を対象として、観測風資料より得た海上風分布を入力条件とする格子点浅海モデルによる波浪推算を実施するとともに、推算結果の極値統計解析に基づいて瀬戸内海における確率波高を推定し、その特性を明らかにする。

2.海上風分布の推定方法

外洋では、ECMWF 表面風解析／再解析資料に梢円型気圧分布を仮定する場合の台風モデル風を組込んで得た海上風分布資料を用いる。瀬戸内海における海上風分布の作成過程は、図-1 に示すように、①最長 23 年間 1 時間ごとの最大 57 地点の観測風資料と境界上 7 地点の ECMWF 風資料に対する加重 1 次補間法¹⁾の適用に基づく 16 仮想地点における風速・風向資料の作成、②増幅係数(1~1.25)の乗算による 16 仮想地点の海上風資料への変換、③最大 57 地点の観測風資料、16 地点の補間風資料および 7 地点の ECMWF 風資料の最長 23 年間 1 時間別値に対する加重 1 次補間法の再度の適用に基づく、格子間隔 2 km の格子網における海上風分布資料の作成、よりなる。

3.波浪推算の方法

波浪推算は瀬戸内海を 4 つに分けた各小海域で観測風より得た海上風分布を入力条件として山口ら(1984)²⁾の格子点浅海モデルに Battjes の段波モデル³⁾を付加したモデルによる。4 つの海域のうち西部海域と大阪湾・紀伊水道海域では外洋に接続する南側境界上の代表格子点に 1 点浅海モデルによる方向スペクトルを入力条件として与える。図-2 は 1 点浅海モデルによる波浪推算で用いる 2 段階水深格子網を示す。図には格子点浅海モデルで用いる格子間隔 1 km の小領域も与える。計算対象擾乱は瀬戸内海西部海域で 1978~2006 年の 117 ケース、大阪湾で 1978~2005 年の 66 ケース、播磨灘・燧灘で 1983~2005 年の 95 ケースとする。気象擾乱は海域ごとに、波浪観測資料や風観測資料を基に、最低でも 1 年に 1 個選択する。また、豊予海峡から大きな波浪エネルギーが伝播する場合、たとえば台風 0418 号や台風 0416 号、台風 8013 号などでは、周防灘東部と伊予灘西部の外洋波浪伝播海域における波浪の不自然な空間的不均一(Garden Sprinkler 効果)を緩和するために、外洋からの波浪の伝播方向を 10~20° 間隔で不等分割することにより波浪推算における方向分解能を向上させている。

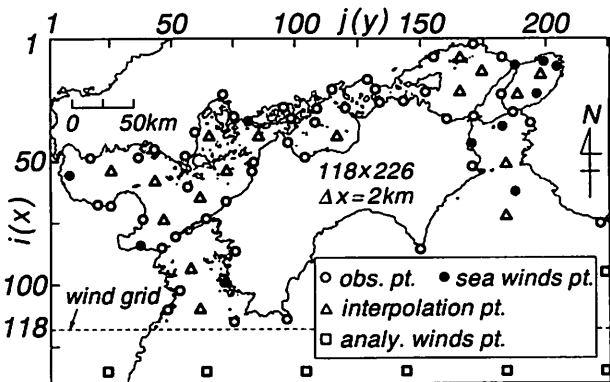


図-1 風観測地点の位置（瀬戸内海）

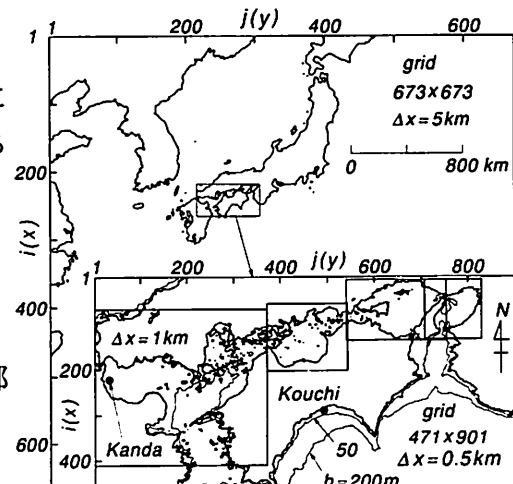


図-2 4 小領域の範囲

4. 波高極値の推定結果

極値統計解析には年最大(AM)波高資料と極大(POT)波高資料の2種類に対して母数推定を最小2乗法 LSM)による Yamaguchi・Hatada(1997)⁴⁾のモデルを適用する。POT 資料に対する解析では、AM 資料の最低値を基準波高 H_c として、これより大きい POT 資料を用いる。極値統計解析の結果は AM 資料よりも POT 資料の場合に小さい確率波高の標準偏差を与えるので、POT 資料に基づく解析結果を示す。

図-3 は 50 年確率波高 H_{50} の平面分布を示す。瀬戸内海西部海域において、波高は豊後水道境界端の 11m から豊予海峡の 9m、これが NW 方向に対岸の下松付近に向けて 7m になる。豊予海峡から下松にかけての線上から、波高は放射状に小さくなり、周防灘西部で 4m、伊予灘東部で 5m 以下、別府湾でも 5m 以下をとる。斎灘や安芸灘、広島湾では 3~4m である。大阪湾において、波高は友ヶ島水道での 8m から、北側に向けて淡路島北東部沖合までの広い範囲で 7m 域をもち、ここから東側に向けて 3m にまで小さくなる。局所的にみると、50 年確率波高は明石で 6m、神戸で 5m 弱、大阪湾湾奥で 4m 強、MT 局付近で 3m と評価される。

50 年確率波高の標準偏差は波高 7~8m 域で 0.6m、4m 域で 0.4m であり、突出した値をとらない。

5. 結語

瀬戸内海における 50 年確率波高の推定値は、内海発生波が卓越する海域では 5m を上限とし、外洋からの波浪の影響を受ける内海域で 7m、佐田岬など外洋波浪が直接到達する地点で 9m、大阪湾でも内海発生波が卓越する海域で 4m、外洋波浪の影響を強く受ける明石沖海域で 6m、湾入口で 9m と見積もられる。また播磨灘では北側海域、すなわち兵庫県沿岸海域で 5m、南側海域、すなわち香川県沿岸海域で 4m、水平スケールが播磨灘より小さい燧灘ではそれぞれ 1m 小さくなつて、北側海域で 4m、南側海域で 3m と見積もられる。

参考文献

- 1) 塩野清治・弘原海 清・升本眞二:パソコンで不規則に分布するデータを格子点データに変換してコンターマップを作成する方法(1)- 加重一次補間法-, 情報地質(10), pp. 65-78, 1985.
- 2) 山口正隆・畠田佳男・細野浩司・日野幹雄:エネルギー平衡方程式に基づく浅海波浪の数値予知モデルについて, 第 31 回海岸工学講演会論文集, pp. 123-127, 1984.
- 3) Battjes, J.A. and J.P.F.M. Janssen: Energy loss and setup due to breaking of random waves, Proc. 16th ICCE, Vol.1, pp.569-589, 1978.
- 4) Yamaguchi, M. and Y. Hatada : An extremal analysis system and its application to the estimation of extremes of meteorological and oceanographic elements around the coasts of Japan Proc. WAVES97, Vol.2, pp.932-946, 1997.

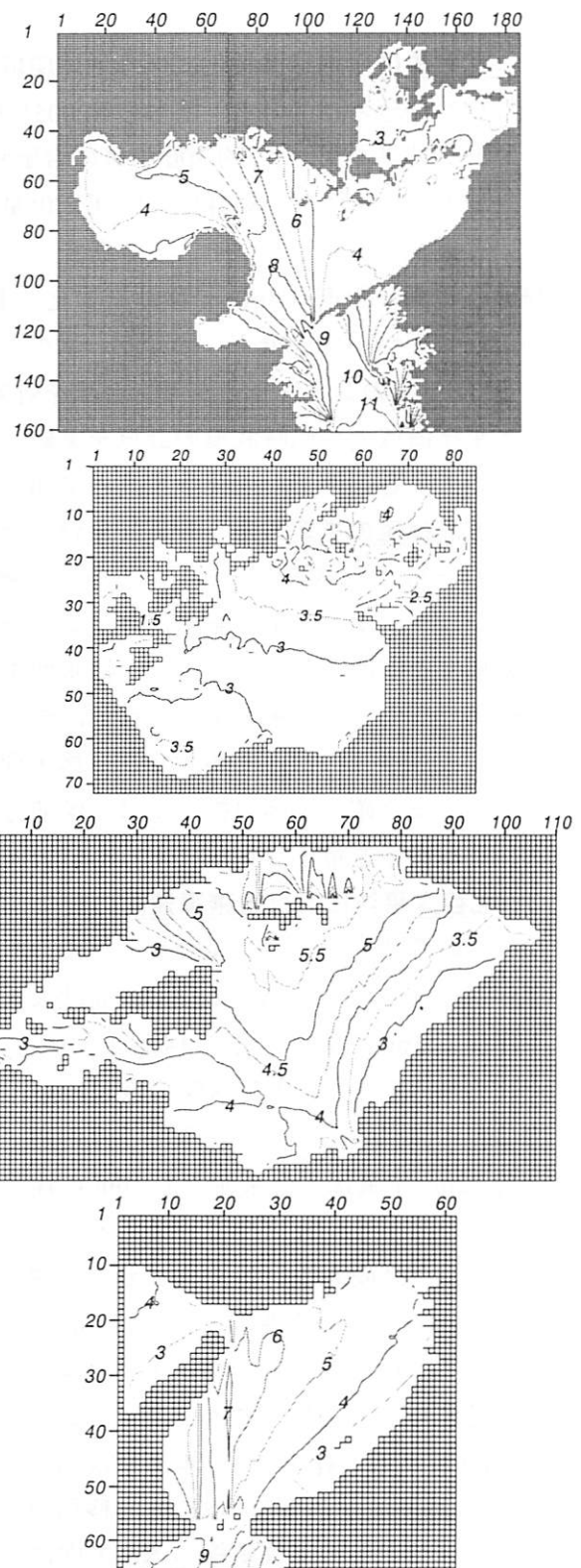


図-3 POT 資料による 50 年確率波高の平面分布